

# امکان تولید فورستریت از سرپانتین طبیعی، به منظور استفاده در صنعت دیرگداز

دحیم دیری<sup>۱\*</sup>، میترا غفاری<sup>۲</sup>، حبیب ملایی<sup>۱</sup>، محمد الیاس مسلم پور<sup>۳</sup>

۱- استادیار، باشگاه پژوهشگران جوان و نخبگان، واحد مشهد، دانشگاه آزاد اسلامی، مشهد، ایران

۲- استادیار، گروه زمین شناسی، واحد مشهد، دانشگاه آزاد اسلامی، مشهد، ایران

۳- استادیار، گروه زمین شناسی، واحد زاهدان، دانشگاه آزاد اسلامی، زاهدان، ایران

\*rahimabdabiri@yahoo.com

(تاریخ دریافت: ۹۲/۰۷/۱۰، تاریخ پذیرش: ۹۲/۱۱/۱۹)

## چکیده

آزمایش‌های پتروگرافی، پراش پرتو ایکس (XRD) و آنالیز حرارتی DTA-TG بر روی تعدادی از سنگهای افیولیتی منطقه نیریز نشان داد که می‌توان با حرارت دادن سرپانتین تا دمای حدود ۶۰۰°C، فورستریت تولید کرد. لذا می‌توان از سنگهای سرپانتینی به عنوان مواد اولیه در صنعت دیرگدازها استفاده نمود. بر اساس آزمایش‌های انجام شده و اکنشهای آبزدایی سرپانتینها از دمای ۱۰۰ تا ۱۵۰ درجه سلسیوس شروع شده و در محدوده دمایی ۵۵۰ تا ۷۰۰ درجه سلسیوس واکنش‌های هیدورکسیل زدایی آنها صورت می‌گیرد. بطور کلی سرپانتینها تا دمای ۵۵۰°C پایدار بوده و در دمای ۶۰۰°C الیون (فورستریت) در نتیجه تجزیه سرپانتین تشکیل می‌گردد.

## واژه‌های کلیدی:

فورستریت، سرپانتین، دیرگداز، XRD، DTA-TG

## ۱- مقدمه

سیلیسی (کوارتز یا کوارتریت) و آلومینوسیلیکاتی (خاک دیرگداز، آندالوزیت، مولیت، بوکسیت و کراندم) می‌باشد [۳]. در ایران گسترش وسیع سنگهای فوق قلایی و افیولیتی و ذخایر مگنتیتی و کرومیتی عظیم باعث گردیده دیرگدازهای بازی مورد توجه پژوهی قرار گیرند.

در این بین الیونها بدلیل کاربرد وسیع از اهمیت خاصی برخوردارند. ترکیب الیونها در سیستم CaO-MgO-FeO-SiO<sub>2</sub>

دیرگدازها عمده‌تاً از مواد معدنی تهیه می‌شوند. این مواد علاوه بر اینکه دارای درجه حرارت ذوب بالائی هستند، در مقابل عوامل مخرب همچون سایش، فشردگی، شوکهای حرارتی نیز مقاومند [۱-۲]. مواد دیرگداز بر اساس ترکیب شیمیائی و خصوصیات فیزیکی عمده‌تاً به دو گروه اسیدی و قلایی تقسیم می‌شوند. دیرگدازهای بازیک شامل ترکیبات الیونی، مگنتیتی و دولومیتی بوده و دیرگدازهای اسیدی شامل ترکیبات معدنی

جلوگیری از ورود اشعه ماوراء بمنش استفاده می شود. سختی بالای آن، عدم دارا بودن سیلیس و فلزات آزاد و سمی نبودن غبار آن، باعث گردیده ماده ای مناسب برای ساینده ها باشد. از جمله کاربردهای دیگر فورستریت می توان به کاربرد آن در جواهر سازی اشاره کرد. در کشور های اسلامی از جمله افغانستان از فورستریت در تهیه تسبیح های معروف به شاه مقصود استفاده می گردد. همچنین از این کانی در امور کشاورزی و خوراک دام استفاده می شود. در حال حاضر نوز اولیوین تولید سالانه اولیوین را دارد و ۶۶ درصد تولید ناخالص جهانی را به خود اختصاص داده است [۱۲]. بعد از آن کشور های آمریکا، ژاپن، سوئد و کانادا قرار دارند. کشور هایی مثل فرانسه و اسکاتلند اولیوین را به طور مصنوعی تولید می کنند. برای تولید فورستریت مصنوعی، منیزیت را با انتساتیت یا سرپانتین مخلوط کرده و تا ۱۶۰۰-۱۶۵۰ درجه سلسیوس حرارت می دهد [۱۳]. سرپانتینیت ها بعنوان ماده اولیه تولید ایوین شوند. مجموعه های افیولیتی در ایران بصورت گسترده وجود دارند (شکل ۱). با وجود گسترش وسیع مجموعه های افیولیتی در ایران و پتانسیلهای مساعد برای این مواد معدنی متاسفانه تا کنون مطالعات دقیق بر روی این مواد صورت نگرفته است. این پژوهش به بررسی مکانیسم و ساز و کار تولید فورستریت از سنگهای سرپانتینی نیز پرداخته است.

## ۲- مواد و روش تحقیق

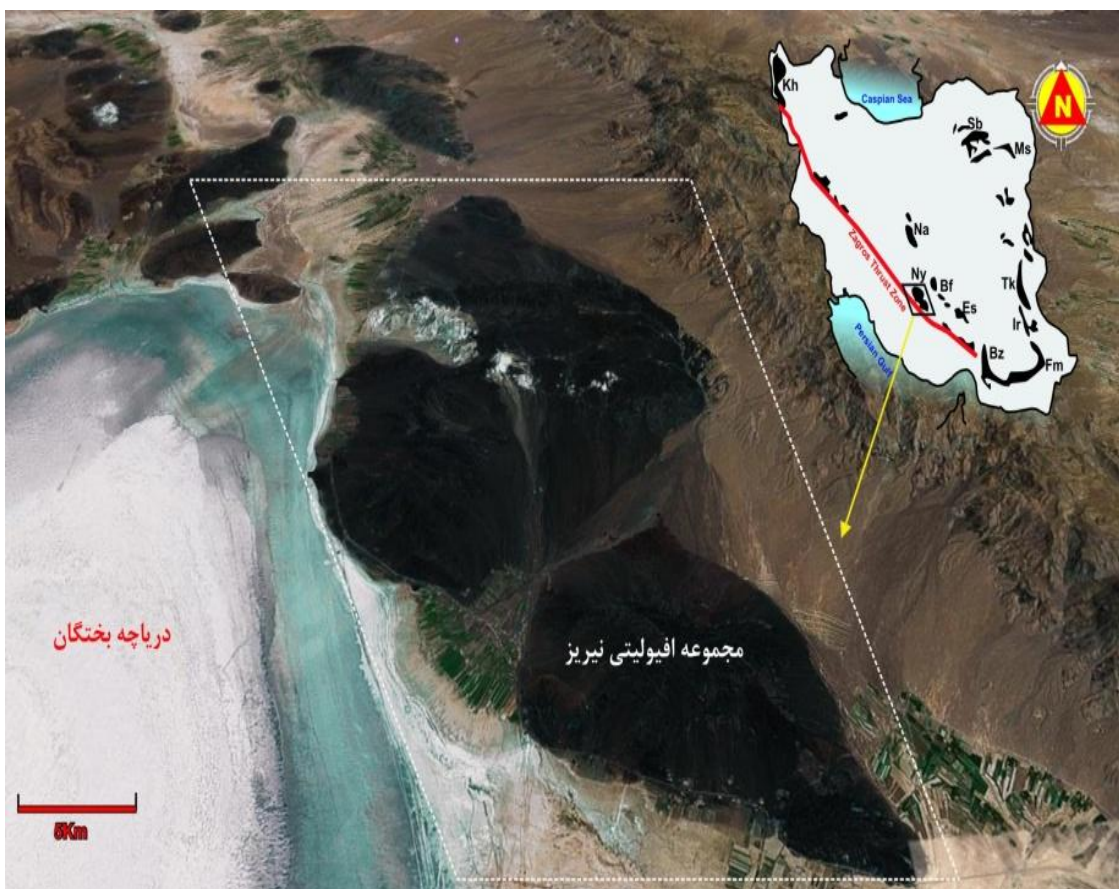
این مطالعه شامل چهار مرحله، مطالعات پتروگرافی، آزمایشها پراش پرتو ایکس (X-Ray Diffraction) و آنالیز حرارتی دیفارانسیل (Differential Thermal Analysis)، وزن سنجی حرارتی (Thermal Gravimetry Analysis) است. در ابتدا نمونه های مختلفی از سرپانتینهای منطقه افیولیتی نیز به منظور تعیین پاراژنز (Paragenesis) کانیایی و ویژگیهای بافتی سنگها مورد مطالعات پتروگرافی قرار گرفتند. به منظور بررسی رفتار حرارتی، نمونه ها تحت شرایط فشار اتمسفری واقع شده و

قابل بررسی است. متداولترین کانیها در این سیستم، سری محلول جامد فورستریت ( $Mg_2SiO_4$ ) و فایالیت ( $Fe_2SiO_4$ ) است. فراوانی فورستریت و فایالیت خالص در طبیعت کم بوده و کانی ایوین همیشه بصورت ترکیبی از این دو عضو یافت می شود. اولیوین هایی که بیش از ۱۵ درصد فایالیت و کمتر از ۸۵ درصد فورستریت دارند، برای مصارف صنعتی قابل استفاده نیستند [۴]. اولیوین غنی از منیزیم (فورستریت) در صنایع مختلف، بالاخص صنعت دیرگداز و ریخته گری اهمیت زیادی دارد. دمای ذوب این کانی در حدود ۱۸۹۰ درجه سلسیوس می باشد [۶-۵]. دیرگداز بودن فورستریت در دهه ۱۹۲۰ توسط گلداشمت پیشنهاد شد. در اوخر دهه ۱۹۳۰ فورستریت در آمریکا و نروژ برای اهداف دیرگداز استفاده شد و مورد توجه صنعتگران قرار گرفت [۷]. سنگهای سرپانتینی در نتیجه واکنشهای آبزدایی (Dehydration) به ایوین، پیروکسن و سایر کانیهای سیلیکاتی غنی از منیزیم دگرسان می شوند. فرایندی که از آن با عنوان دسرپانتینی شدن (Deserpentinization) یاد می شود. لیزاردیت، آنتیگوریت و کریزوتیل سه پلی سورف مهم گروه سرپانتین با فرمول عمومی  $Mg_3Si_2O_5(OH)_4$  هستند. این کانیها جزو فیلوسیلیکاتهای آبدار بوده و در ساختار خود حدود ۱۳٪ آب دارند [۸].

فورستریت به طور گسترده به عنوان ماسه قالب گیری آلیاژ های برنج، برنز، آلومینیوم، منیزیم، تیتانیوم و آهن استفاده می شود. این ماده نسبت به ماسه کوارتزی گران تر بوده، اما دارای مزایای زیادی است [۱۱-۹]. از جمله قالب های آن برای چند بار قابل استفاده بوده و سطح قالب ها صاف تر است. این قالب ها، فلزات را به خود نمی گیرند و لذا تمیز کردن آنها راحت تر است. مهمتر اینکه گرد و غبار آن سفید رنگ و برخلاف گرد و غبار سیلیسی، برای کارگران سمی نمی باشد. قالب های فورستریتی هنگام استفاده منبسط نشده و به علت نقطه ذوب بالا دچار تغییرات فازی نمی گردد و لذا اندازه قالب ها ثابت می ماند. همچنین فورستریت به علت دیرگداز بودن و قابلیت قالب گیری، برای تهیه آجر دیرگداز و سفال های سقف ها به منظور

گرفتند. نمونه ها پس از خشک شدن بمدت یک ساعت در شرایط اتمسفر در کوره حرارتی تحت دماهای  $250^{\circ}\text{C}$ ،  $400^{\circ}\text{C}$ ،  $550^{\circ}\text{C}$ ،  $600^{\circ}\text{C}$ ،  $650^{\circ}\text{C}$ ،  $700^{\circ}\text{C}$ ،  $750^{\circ}\text{C}$ ،  $850^{\circ}\text{C}$  و  $1100^{\circ}\text{C}$  درجه سانتی سلسیوس قرار گرفتند.

توسط پراش پرتو ایکس مورد بررسی قرار گرفتند. این کار در محدوده  $2\theta=4-80^{\circ}$  و توسط دستگاه پراش پرتو ایکس، Philips مدل XPert انجام پذیرفت. در ادامه تحت شرایط کنترل شده پودرها با آب مقطر مخلوط شده و تحت سوسبانسیون قرار



شکل (۱): تصویر ماهواره ای از رخنمون مجموعه افیولیتی نیریزو در گوشه سمت راست بالای تصویر نقشه پراکندگی مجموعه افیولیتی و آمیزه های رنگین ایران (اقتباس از امامی و همکاران [۱۴]) و موقعیت منطقه مورد مطالعه

### ۳- نتایج و بحث

#### ۳-۱- مطالعات پتروگرافی

بر اساس مطالعات پتروگرافی سنگ منشاء این نمونه ها هارزبورژیت تعیین گردید. این سنگها بطور کامل سرپاتینی شده و تبدیل به سنگ سرپاتینیت شده اند. در این سنگها پارائنز کانیایی سرپاتین، تالک، منیتیت مشاهده گردید. کانیهای فرومیزین همچون الیوین (فورستریت) یا ارتو پیروکسن (انستاتیت) مشاهده نشدند. در مواردی فقط سودومورفی از این

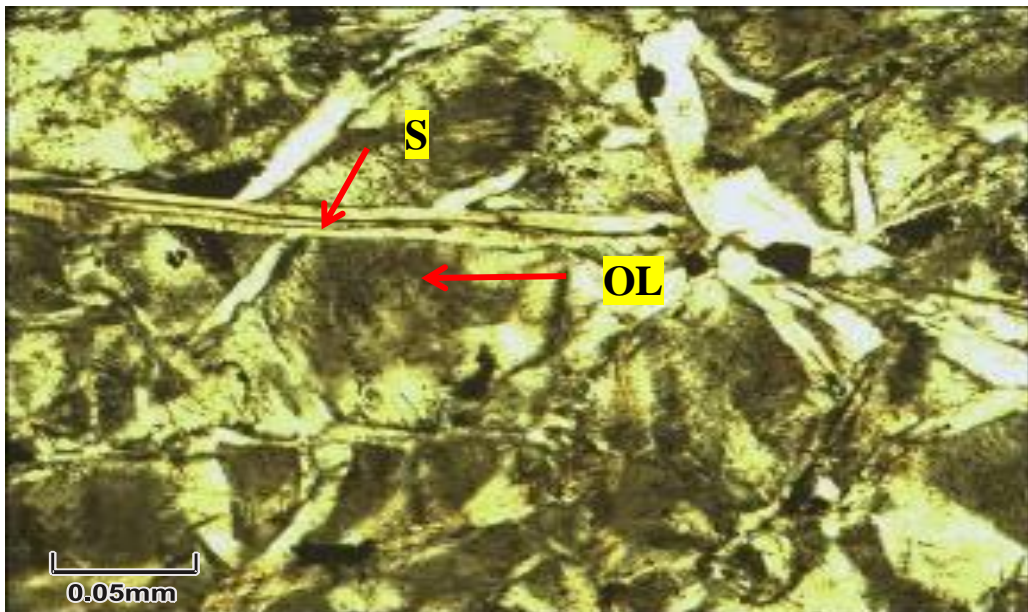
آزمایش آنالیز حرارتی دیفرانسیل و وزن سنجی حرارتی بر روی نمونه ها بمنظور مطالعه تبادلات فازی همراه با افزایش دما و کاهش وزن ناشی از واکنشها توسط دستگاه آنالیز حرارتی STA 409 PC Luxx NETZSCH صورت گرفت. در طی آنالیزها دما از  $20^{\circ}\text{C}$  (دمای آزمایشگاه) تا  $1100^{\circ}\text{C}$  بطور پیوسته افزایش یافته و نرخ افزایش دما  $20^{\circ}\text{C}$  در دقیقه بوده و از ۱۰۰ میلی گرم نمونه برای آنالیزها استفاده شده است.

فازی، نمونه ها در محدوده های حرارتی متفاوت تا یک ساعت در شرایط اتمسفری حرارت داده شدند. در ابتدا آزمایش های پراش پرتو ایکس بر روی نمونه های طبیعی سرپانتینی مجموعه افیولیتی نیریز صورت گرفت و این آزمایشها نشان داد که سرپانتین نوع لیزاردیت مهمترین کانی تشکیل دهنده نمونه است. به منظور بررسی تغییرات کانی شناسی ناشی از واکنش های حرارتی، آزمایش های XRD روی نمونه های حرارت دیده انجام شد.

کانیها قابل تشخیص است و در کل سنگ بافت غربالی به خود گرفته است. برخی از ارتوپیروکسنها نیز باستیزه شده اند و فقط قالبی از آن باقی مانده است. بر اساس طبقه بندی Whittaker (۱۹۷۷) و O'Hanley (۱۹۹۱، ۱۹۹۶) و ویژگی های بافتی نوع سرپانتین های موجود از نوع لیزاردیت و آنتیگوریت و رگه هایی از نوع کربیزوئیل تعیین گردید [۱۵-۱۷] (شکل ۲).

### ۲-۳- آنالیز های پراش پرتو ایکس (XRD)

همانطور که اشاره شد، به منظور بررسی رفتار حرارتی و تغییرات



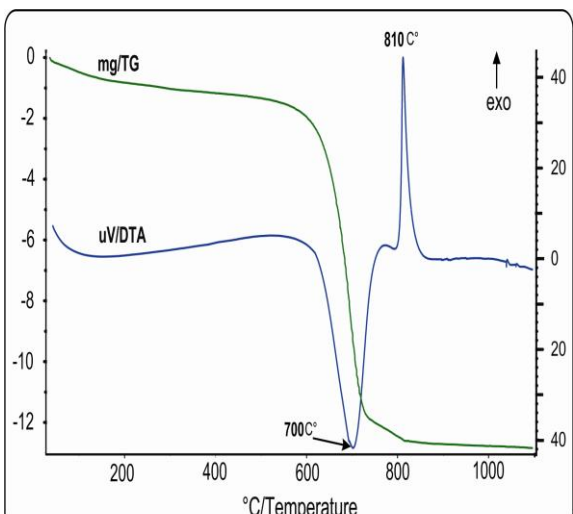
شکل (۲): تصویری از مقطع میکروسکوپی سرپانتینیت های نیریز با بافت غربالی و سودومورفهای از الیوین (OL) که فقط قالبی از آن باقی مانده و به رشتہ های سرپانتین (S) دگرسان شده اند (تصویر در نور TL.XPL)

(ایجاد ساختارهای بی نظم) قابل توجهی در نمونه ها دیده می شود (شکل ۳).

**۳-۳-۳- آنالیز های DTA-TG**  
واکنش های حرارتی لیزاردیت با افزایش دما، توسعه می یابد. توجه به نتایج آزمایش های DTA-TG نمونه های لیزاردیت های منطقه مورد مطالعه نشان می دهد که یک پیک آندوترمیک در دمای ۷۰۰ درجه سلسیوس و یک پیک اگزوترمیک در دمای ۸۱۰ درجه وجود دارد (شکل ۴).

نتایج آنالیزها حکایت از آن دارد که با افزایش دما از مقدار لیزاردیت کاسته می شود، تا آنچه در دمای ۶۰۰°C، لیزاردیت کاملاً محو شده و دیگر اثری از آن دیده نمی شود. الیوین (فورستریت) از این دما شروع به تبلور می کند و با افزایش دما مقادیر آن افزایش می یابد. علاوه بر این مقادیر اندکی انستابیت (نوعی پیروکسن منزیزم دار) نیز در دمای ۷۰۰°C شروع به تبلور می کند. این کانی نیز به عنوان دیرگذار در صنایع مورد استفاده قرار می گیرد. مقادیر تولید این کانی نسبت به فورستریت قابل توجه نیست. مطابق نتایج آزمایشها در ۶۰۰°C آمورفی شدن

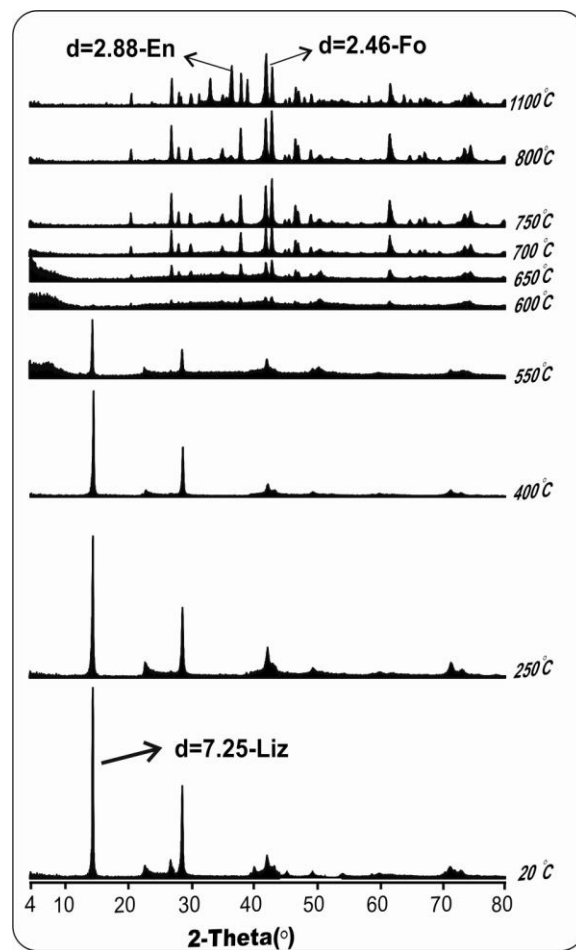
و فورستریت و انساتیت توسعه پیدا می کنند. اوج تبلور این دو کانی جدید توسط پیک آگروترمیک  $810^{\circ}\text{C}$  ثبت شده است. تمامی تغییرات کانی شناسی که توسط مطالعات XRD انجام گرفته با آنالیزهای DTA قابل انطباق است. بر اساس نتایج آنالیزهای TG می توان دریافت که نمونه ها در طی این واکنشها، ۱۳ درصد کاهش وزن پیدا کرده اند.



شکل (۴): تصویر نمودارهای DTA-TG مربوط به یک نمونه از لیزاردیت منطقه نیریز.

#### ۴- نتیجه گیری

بر اساس مطالعات فرانک و همکاران در سال ۲۰۰۵ مشخص گردید که لیزاردیت در دمای  $600^{\circ}\text{C}$  (کلوین) بعد از ۲۷ دقیقه و در دمای  $700^{\circ}\text{C}$  (کلوین) بعد از ۱۰ دقیقه دچار واپاشی می شود [۱۸]. بر اساس نتایج XRD انجام شده در این مطالعه مشخص گردید که با افزایش دما، به مرور از شدت (Intensity) پیکهای در نمودارهای XRD کاسته می شود. بطوریکه در دمای بیش از  $550^{\circ}\text{C}$ ، پیکهای مربوط به کانی لیزاردیت دیگر مشاهده نمی شوند. لذا می توان نتیجه گرفت لیزاردیت تا دمای  $550^{\circ}\text{C}$  هنوز پایداری داشته و از آن به بعد دچار تجزیه شده و در ابتدا فورستریت و سپس انساتیت تشکیل می شود. در زیر واکنش مربوط در طی هیدروکسیل زدایی لیزاردیت ارائه شده است:



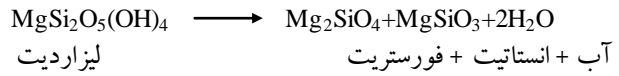
شکل (۳): تصویر بلوك دیاگرام XRD یک نمونه از لیزاردیت منطقه نیریز. در دماهای ۲۰، ۴۰، ۶۰، ۸۰، ۱۰۰، ۲۵۰، ۴۰۰، ۵۵۰، ۶۵۰، ۷۵۰، ۸۰۰، ۹۰۰ درجه سلسیوس و نتایج آنالیزهای آنها در دماهای یاد شده. (Liz = لیزاردیت، FO = فورستریت، En = انساتیت)

چنانکه در نمودار DTA و TG مشاهده می شود از دمای  $20^{\circ}\text{C}$  تا  $150^{\circ}\text{C}$  آب آزاد نمونه و از دمای  $150^{\circ}\text{C}$  آب جذبی موجود در نمونه از بین رفته و نمونه ها دچار آبدایی می شوند. بر اساس نمودار DTA می توان دریافت که، در محدوده دمایی  $550^{\circ}\text{C}$  تا  $700^{\circ}\text{C}$ ، واکنشهای هیدروکسیل زدایی رخ داده است. این واکنشهای هیدروکسیل زدایی در نتیجه تشکیل فورستریت ( $\text{Mg}_2\text{SiO}_4$ ) از لیزاردیت ( $\text{Mg}_3\text{Si}_2\text{O}_5(\text{OH})_4$ ) در دمای بالاتر از  $600^{\circ}\text{C}$  می باشد. بر اساس نتایج XRD، لیزاردیت تا دمای  $550^{\circ}\text{C}$  مقاوم بوده و در دماهای بالاتر پایداری آن محدود شده

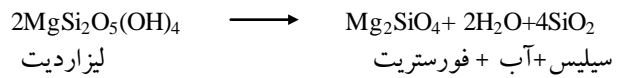
شدن در دمای  $600^{\circ}\text{C}$  بوقوع پیوسته و موجب تشکیل مقادیر آندکی آب و سیلیس آزاد می‌گردد. با توجه به کاربردهای فراوان الیوین فورستریتی در صنایع مختلف و بالاخص صنعت دیرگذار و با عنایت به فراوانی سنگهای سرپاتنی (عنوان ماده اولیه تولید فورستریت) در کشورمان، گمان می‌رود روش یاد شده در این مقاله برای تولید الیوین فورستریتی، در مقایسه با روش‌های دیگر اقتصادی‌تر باشد. چرا که برای تولید الیوین فورستریتی با این روش، به دمای و در نتیجه انرژی کمتری نسبت به سایر روش‌ها نیاز بوده و نیز از سنگهای سرپاتنی استفاده شده است. همچنان که ذکر شد، در اغلب مناطق ایران سنگهای سرپاتنی به فراوانی یافت می‌شوند.

## ۵- مراجع

- [1] B. Dewaele & S. Simasiku, "An overview of the refractory mineral potential of Zambia", International Geology Reviews, Vol. 44, pp.254-263, 2002.
- [2] G. Effenberg, "Refractory metal systems", Edited by G. Effenberg. Vol. 11. Springer, 2010.
- [3] V. A. Perepelitsyn & E. E. Grishenkov, "A classification of refractories: Properties", Refractories and Industrial Ceramics, Vol. 45, No.5, pp. 324-326, 2004.
- [4] K. L. Song, "In: Refractory Materials. Taiwan Refractory Materials Industry Union", Ceramic Magazine, Taipei, pp. 158–164, 1978.
- [5] T. H. Pan, "A study of MgO-SiO<sub>2</sub> refractory materials". Ceramic Magazine, pp.42–49, 1982.
- [6] M Bradley & T. Hutton. "Overview of Refractory Raw Materials". PT. 2. BASIC", Refractories Engineer, 2011.
- [7] F. A. Harvey & R. E. Birch, "Olivine and Forsterite Refractories in American", Journal of Industrial & Engineering Chemistry, Vol. 30, No.1, pp. 27–32, 1938.
- [8] A. I. Dmitri, C. Ingrid & L. B. Jean, "Origin of Fe-rich lherzolites and wehlrites from Tok, SE Siberia by reactive melt percolation in refractory mantle



نتایج حاصل از آزمایش‌های DTA نیز قابل اطباق با نتایج آنالیزهای XRD می‌باشد. آنالیزهای DTA نشان می‌دهند که واکنش‌های هیدروکسیل زدایی لیزاردیت از دمای  $550^{\circ}\text{C}$  شروع و تا دمای  $700^{\circ}\text{C}$  ادامه می‌یابد. آزمایش‌های پرتو X نشان می‌دهد که در دمای بالاتر از  $600^{\circ}\text{C}$ ، فورستریت ظاهر شده و شروع به رشد می‌کند. دمای  $810^{\circ}\text{C}$  که با پیک اگزوترمیک مشخص شده است، در واقع اوج واکنش‌های هیدروکسیل زدایی می‌باشد. عبارت دیگر در این دما، تولید فورستریت از رونق خاصی برخوردار است. نتایج آنالیزهای XRD نشان می‌دهند که از دمای  $550^{\circ}\text{C}$  درجه سلسیوس و همزمان با واپاشی لیزاردیت آمورفی شدن در نمونه دیده می‌شود، که این امر در  $600^{\circ}\text{C}$  بسیار شاخص‌تر است. از دمای  $650^{\circ}\text{C}$  به بعد (همزمان با ظهور فورستریت)، آمورفی شدن با افزایش دما کاهش می‌یابد. بطوریکه در بالاترین دما ( $1100^{\circ}\text{C}$ ) کمترین میزان آمورفی شدن (ایجاد ساختارهای بی‌نظم) و یشتربین شدت پیکها و کریستالینیتی (ایجاد ساختارهای منظم) فورستریت و انستابیت وجود دارد. آمورفی شدن فرایندی است که در نتیجه آزاد شدن سیلیس در طی واکنش‌های حرارتی صورت می‌گیرد [۱۹]. لذا طبق واکنش زیر آمورفی شدن صورت می‌گیرد.



بطورکلی بر اساس نتایج مطالعات DTA-TG-XRD بر روی کانی لیزاردیت می‌توان نتیجه گرفت که این کانی تا دمای  $150^{\circ}\text{C}$  پایدار بوده و واکنش‌های هیدروکسیل زدایی آن از دمای  $550^{\circ}\text{C}$  درجه سلسیوس و واکنش‌های هیدروکسیل زدایی آن در محدوده دمایی  $550$  تا  $700$  درجه سلسیوس صورت می‌گیرد. در دمای  $600^{\circ}\text{C}$ ، الیوین (فورستریت) در نتیجه واپاشی لیزاردیت تشکیل می‌گردند. در بین واکنش‌های دهیدراسیون و تبلور، آمورفی

- [19] T. Irfune, K. Kuroda, N. Funamori, T. Uchida, Y. Takehito, T. Inoue, & N. Miyajima, "Amorphization of serpentine at high pressure and high temperature", *Scienc.* 272, pp.1468-1470, 1996.
- [9] R. E. Birch & F. A. Harvey, "Forsterite and other Magnesium silicates as refractories", *Journal of the American Ceramic Society*, Vol. 18, No.1-2, pp.175-176, 1935.
- [10] I. G. Maryasev, L. M. Mikhailovskaya, A. A. Platonov, O. A. Maryaseva & L. D. Bocharov, "Features of chromite ores from different deposits and their effect on the microstructure and properties of periclase-chromite refractories", *Refractories and Industrial Ceramics*, Vol. 49, No.1, pp. 17-31, 2008.
- [11] P. Zhu, L. Y. Wang, D. Hong, & M. Zhou, "A study of cordierite ceramics synthesis from serpentine tailing and kaolin tailing", *Science of Sintering*, Vol 44, No.2, pp. 129-134, 2012.
- [12] H. R. Newman, "The Mineral industry of Norway, 2006 minerals yearbook", USGS, pp.20.1-20.5, 2008.
- [13] G. A. Afonina, V. G. Leonov & O. N. Popova, "Production of Forsterite Powder Using Sol-Gel Technology", *Glass and Ceramics*, Vol.62, No.7-8, pp.248-252, 2005.
- [14] M. H. Emami, M. M. Sadegi & S. J. Omrani, "Magmatic map of Iran", Scale 1/1,000,000, Geological Survey of Iran, 1993.
- [15] D. S. O'Hanley, "Serpentinites-Records of Tectonic and Petrological History", *Oxford Monographs on Geology and Geophysics*, No.34, 1996.
- [16] D. S. O'Hanley, "Fault-Related phenomena associated with hydration and serpentine recrystallization during serpentization", *Canadian Mineralogist*, Vol. 29, pp.21-35, 1991.
- [17] F. J. Wicks & E. J. W. Whittaker, "Serpentine textures and serpentization", *Canadian Mineralogist*, Vol.15, pp.459-488, 1977.
- [18] M. R. Frank, D. J. Earnest, P. A. Candela, A. G Wylie, M. Wilmot & S. J. Maglio, "Experimental Study of the Thermal Decomposition of Lizardite up to 973K", *GSA Abstracts with Programs*, 2005.